



БИООРГАНИЧЕСКАЯ ХИМИЯ

том 9 * № 4 * 1983

УДК 577.152.1.03 : 543.42

РОЛЬ ГИДРОФОБНОГО ФРАГМЕНТА ЦИТОХРОМА b_5 ПРИ ВЗАЙМОДЕЙСТВИИ С ЦИТОХРОМОМ Р-450

Усанов С. А.

Институт биоорганической химии Академии наук БССР, Минск

Бендзко П., Нфайль В., Ениг Г.-Р., Руккнауль Е.

Центральный институт молекулярной биологии
Академии наук ГДР, Берлин-Бух, ГДР

Взаимодействие высокоочищенного цитохрома Р-450 с пативным цитохромом b_5 исследовано методами разностной спектроскопии, кругового диахризма и с помощью второй производной ультрафиолетовых спектров поглощения. Добавление цитохрома b_5 к цитохрому Р-450 вызывает переход железа гема цитохрома Р-450 из низкоспинового состояния в высокоспиновое. Комплексообразование сопровождается изменениями во второй производной спектра цитохрома Р-450, что связано с участием в этом процессе остатков триптофана. Цитохром b_5 , лишенный гидрофобной части молекулы, не способен образовывать комплекс с цитохромом Р-450. Полученные данные указывают на то, что гидрофобный фрагмент цитохрома b_5 , ответственный за связывание с мембраной, необходим для образования функционального комплекса с цитохромом Р-450.

Электроно-транспортные системы мембран эндоплазматического ретикулума представлены двумя цепями: NADPH-специфичной цепью, которая состоит из NADPH-цитохром-Р-450 — редуктазы и цитохрома Р-450, и NADH-специфичной, состоящей из NADH-цитохром- b_5 — редуктазы и цитохрома b_5 . Участие компонентов NADH-зависимой цепи переноса электронов в реакциях окисления микросомными ферментами [1—10] и в реконструированной системе [11—23] исследовалось с помощью кинетических [1—3, 7] и иммунохимических [4, 24, 25] методов. Основываясь на синергическом воздействии NADH на NADPH-зависимое окисление, Эстабрук впервые предположил, что цитохром b_5 непосредственно вовлекается в процесс микросомного окисления, участвуя в транспорте второго электрона на тройной комплекс: цитохром Р-450 — субстрат — кислород [26]. Согласно другой точке зрения, роль цитохрома b_5 в синергизме двух электронно-транспортных цепей заключается в транспорте электронов с NADH на активированные формы кислорода, возникающие в результате разобщения в микросомном окислении. Это способствует более продуктивному использованию электропроводности NADPH-зависимой цепи [27, 28]. Сведения о влиянии цитохрома b_5 на окисление различных субстратов противоречивы: цитохром b_5 ускоряет окисление в микросомах и в реконструированных системах одних субстратов [14, 15, 17—20, 25, 28—32] и не влияет на скорость окисления других [13, 15]. В некоторых реконструированных системах цитохром b_5 заметно замедляет окисление при участии нескольких форм цитохрома Р-450 из микросом печени кролика [29] и окислительное деметилирование диметиланилина [28]. Причина столь противоречивых данных о влиянии цитохрома b_5 на окисление различных субстратов окончательно не выяснена.

Участие цитохрома Р-450 в реакциях окисления определенных субстратов предполагает наличие взаимодействия между этими двумя гемопротеидами.

Целью настоящей работы является исследование процесса взаимодействия высокоочищенной формы цитохрома Р-450 из микросом печени кроликов, обработанных фенобарбиталом, с цитохромом b_5 и выяснение природы сил, обеспечивающих это взаимодействие.

Исследование взаимодействия цитохрома P-450 с нативным цитохромом b_5 методом разностной спектрофотометрии

Цитохром P-450, образующийся после введения животным фенобарбитала (форма LM_2), в отсутствие субстратов и других эффекторов находится в спиновом равновесии между высоко- и низкоспиновой формами. В обычных условиях окисленный цитохром P-450 LM_2 находится преимущественно в низкоспиновой форме.

При добавлении цитохрома b_5 к окисленному цитохрому P-450 LM_2 и равной аликвоты в контрольную кювету наблюдается изменение абсолютного спектра окисленного цитохрома P-450, выражющееся в увеличении поглощения в области 390 нм. Наиболее ярко эти спектральные изменения проявляются при записи разностных спектров поглощения (рис. 1). В основном эти изменения являются следствием перехода в координационной сфере атома железа из низко- в высокоспиновое состояние. Этот переход сопровождается уменьшением поглощения в области 424 нм и увеличением поглощения при 390 нм. Таким образом, спектральные изменения, наблюдавшиеся при взаимодействии цитохрома P-450 LM_2 и нативного цитохрома b_5 , являются типичными спектральными изменениями первого типа, отражающими изменение в равновесии между низко- и высокоспиновой формами при взаимодействии гемопротеидов в пользу высокоспиновой.

Из наблюдаемых спектральных изменений также следует, что они полностью связаны с изменением оптических характеристик только цитохрома P-450 и не затрагивают цитохром b_5 . Этот вывод основывается на том, что спиновый переход в железе гема цитохрома P-450 — хорошо известный факт, в то время как цитохром b_5 существует преимущественно в низкоспиновом состоянии вплоть до 45°C . Только дальнейшее повышение температуры в диапазоне 45 – 63°C сопровождается переходом в высокоспиновое состояние. Такой переход приводит к частичной потере нативной конформации с выходом гемовой группы на поверхность глобулы: понижение температуры приводит к восстановлению нативной конформации [33]. Вместе с тем остается непонятным механизм, приводящий к изменению спинового состояния железа гема цитохрома P-450: реализуется ли спиновый сдвиг при непосредственном взаимодействии гемовой группы цитохрома P-450 с определенными участками па молекуле цитохрома b_5 , либо взаимодействие происходит отдаленно от активного центра, а спиновый переход является результатом конформационных изменений, возникающих в молекуле цитохрома P-450 в результате комплексообразования.

Увеличение концентрации добавляемого цитохрома b_5 вызывает увеличение амплитуды спектральных изменений, достигая предела при концентрациях цитохрома b_5 , близких к концентрации цитохрома P-450 (рис. 1a). Из зависимости спектральных изменений от концентрации цитохрома b_5 в обратных координатах была определена константа диссоциации комплекса цитохрома P-450 LM_2 — цитохром b_5 , равная $8,0 \text{ мкМ}$, а также величина максимальных спектральных изменений — $0,0625 \text{ \AA}$.

Эти спектральные изменения не связаны с превращением цитохрома P-450 в неактивную форму (цитохром P-420) за счет влияния остаточных количеств дезоксиходата натрия, используемого при выделении и очистке цитохрома b_5 , так как карбонильные комплексы восстановленного цитохрома P-450 до и после титрования цитохромом b_5 практически свободны от цитохрома P-420 (рис. 2a). Кроме того, исследование влияния температуры на стабильность цитохрома P-450 в свободном состоянии и в присутствии цитохрома b_5 показало, что цитохром b_5 оказывает стабилизирующее воздействие на цитохром P-450 по отношению к температуре, что, на наш взгляд, свидетельствует о комплексообразовании этих гемопротеидов, сопровождающемся повышением стабильности цитохрома P-450 (рис. 2б).

Ранее было показано [34], что взаимодействие цитохрома P-450 с NADPH-цитохром-P-450-редуктазой облегчается в присутствии субстрата. Поэтому нами было исследовано влияние субстратов цитохрома P-450 на процесс его взаимодействия с цитохромом b_5 . Присутствие в инкуба-

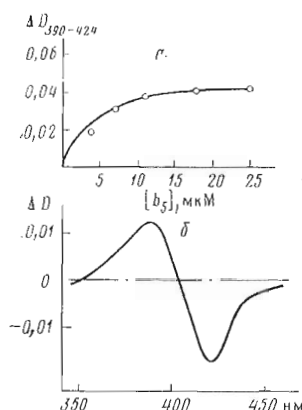


Рис. 1

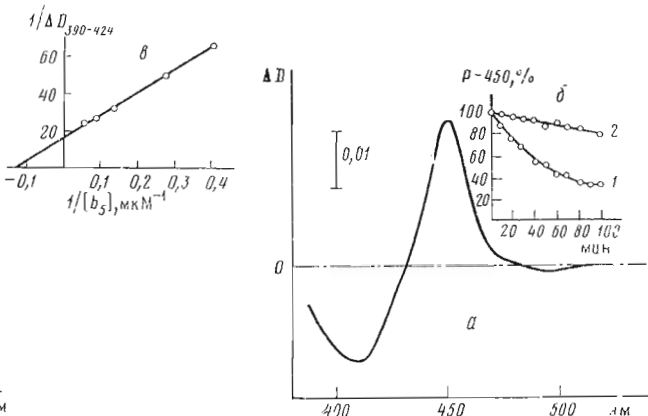


Рис. 2

Рис. 1. Разностные спектры взаимодействия цитохрома Р-450 и b_5 : а – изменение поглощения в зависимости от концентрации цитохрома b_5 (6,7 мкМ цитохром Р-450 в 0,1 М фосфатном буфер, pH 7,4); б – спектр, возникающий при добавлении цитохрома b_5 (3,68 мкМ) к цитохрому Р-450 (7,0 мкМ); в – зависимость поглощения от концентрации цитохрома b_5 в обратных координатах

Рис. 2. Спектр карбонильного комплекса цитохрома Р-450, снятый в присутствии цитохрома b_5 (а); б – инактивация цитохрома Р-450 при 42° С в свободном виде (1) и в комплексе с цитохромом b_5 (2)

ционной среде субстрата первого типа гексабарбитала (1 мМ) [32] способствует образованию комплекса между цитохромом Р-450 и нативным цитохромом b_5 , что проявляется в увеличении амплитуды спектральных изменений и в лучшей воспроизводимости результатов титрования. Напротив, субстрат второго типа, анилин [32], не оказывает влияния на процесс комплексообразования. Полученные результаты свидетельствуют о том, что факторы, способствующие изменению спинового состояния цитохрома Р-450 в пользу высокоспиновой формы, благоприятствуют и взаимодействию с цитохромом b_5 , по-видимому, за счет изменения конформации молекулы цитохрома Р-450 и его окислительно-восстановительного потенциала.

Исследование взаимодействия цитохрома Р-450 с цитохромом b_5 методом кругового дихроизма

В данной работе мы использовали метод КД для исследования взаимодействия цитохрома Р-450 с нативным цитохромом b_5 . Отличительной чертой спектров КД цитохромов Р-450 и b_5 является наличие значительной отрицательной эллиптичности в области полосы Соре, более выраженной для цитохрома Р-450. Сопоставление спектров цитохрома Р-450 и цитохрома b_5 до смешения и после него (рис. 3) свидетельствует о том, что при смешении происходит значительный сдвиг в коротковолновую область, сопровождающийся изменениями в спектре КД в области 300–400 нм. Спектральный сдвиг, наблюдаемый при взаимодействии гемопротеидов, сопровождается смешением минимума отрицательного пика с 422 до 418 нм в спектре КД. Это согласуется с изменением спинового равновесия цитохрома Р-450 в пользу высокоспиновой формы. Изменения в спектрах КД отражают изменения, происходящие в обоих хромофорах гемопротеидов. Однако в силу того, что отрицательная молярная эллиптичность цитохрома Р-450 в области полосы Соре значительно выше, чем для цитохрома b_5 , можно предположить, что основной вклад в изменения в спектрах КД вносят конформационные сдвиги, происходящие в молекуле цитохрома Р-450 при взаимодействии с цитохромом b_5 . Исследование спектров КД в ультрафиолетовой области спектра (рис. 3) показывает, что взаимодействие гемопротеидов сопровождается изменениями во вторичной структуре одного или обоих гемопротеидов. Полученные результаты подтверждают

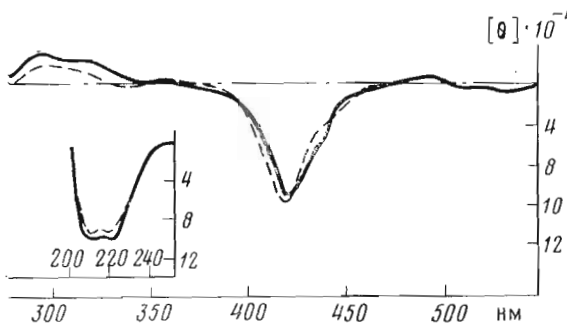


Рис. 3. Спектр КД смеси цитохрома P-450 (24,5 мкМ) и цитохрома b_5 (28,6 мкМ) (сплошная линия) и комплекса этих цитохромов (пунктир). На врезке те же спектры в УФ-области

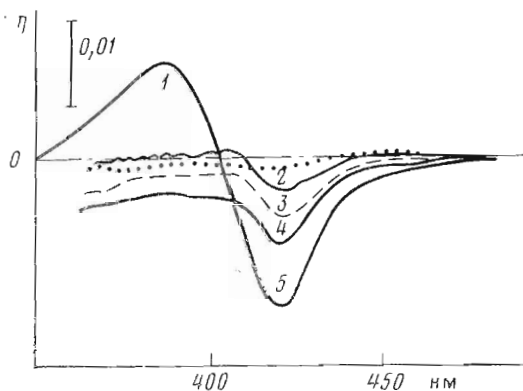


Рис. 4. Разностные спектры взаимодействия нативного ($\text{д-}b_5$) (1) и обработанного трипсином цитохрома b_5 ($\text{т-}b_5$) с цитохромом P-450: [P-450] 7 мкМ, [$\text{д-}b_5$] 4,38, [$\text{т-}b_5$] 3,7 (2) 5,6 (3), 7,7 (4), 9,6 мкМ (5)

выводы, сделанные исходя из данных по спектральному титрованию, и свидетельствуют о том, что комплексообразование гемопротеидов сопровождается значительными изменениями в области полосы Соре и ультрафиолетовой части спектра.

Исследование взаимодействия цитохрома P-450 с триптическим фрагментом цитохрома b_5

Цитохром b_5 является мембранным гемопротеидом. Молекула нативного цитохрома b_5 , выделяемого посредством солюбилизации микросомных мембран детергентами, имеет минимальную молекулярную массу, равную 16 700. Цитохром b_5 , выделенный из мембран эндоплазматического ретикулума с использованием обработки их протеолитическими ферментами, имеет минимальную молекулярную массу 11 000 [23]. Таким образом, молекула цитохрома b_5 состоит из двух, относительно независимых доменов: функционально важного, гемосодержащего домена, идентичного триптическому фрагменту, и гидрофобного, ответственного за связывание с мембраной и состоящего из 30–40 гидрофобных аминокислот с C-концевой части молекулы цитохрома b_5 . Только нативный, т. е. содержащий гидрофобный фрагмент, цитохром b_5 способен встраиваться в мембранные структуры. Для того чтобы оценить роль гидрофобного фрагмента молекулы цитохрома b_5 , ответственного за связывание с мембраной, во взаимодействии с цитохромом P-450, нами было исследовано взаимодействие цитохрома P-450 с триптическим фрагментом цитохрома b_5 ($\text{т-}b_5$) (рис. 4). Оказалось, что прибавление возрастающих количеств последнего не приводит к изменению спинового равновесия цитохрома P-450 в пользу высокоспин-

новой формы, как это имеет место в случае нативного цитохрома b_5 ($d-b_5$). Полученные данные указывают на то, что триптический фрагмент цитохрома b_5 не способен образовывать функциональный комплекс с цитохромом P-450. Таким образом, во взаимодействии цитохрома b_5 с цитохромом P-450 ЛМ₂ значительную роль играет гидрофобный фрагмент молекулы цитохрома b_5 , указывая на гидрофобный характер сил, реализующихся при комплексообразовании. Это, однако, не исключает участия электростатических взаимодействий между гемопротеидами.

Роль фосфолипидов во взаимодействии цитохрома P-450 с нативным цитохромом b_5

Фосфолипиды имеют существенное значение в процессе функционирования цитохрома P-450, способствуя взаимодействию с субстратами и NADPH-цитохромом-P-450—редуктазой, а также влияя на спиновое равновесие между низко- и высокоспиновой формами и конформацию цитохрома P-450 [32, 34–37]. В этой связи нами было исследовано взаимодействие цитохрома P-450, встроенного в липосомы (приготовлены из яичного фосфатидилхолина, димиристоилфосфатидилхолина и общих микросомных фосфолипидов), с нативным цитохромом b_5 . Встраивание цитохрома P-450 в липосомы, приготовленные из яичного фосфатидилхолина и суммарных микросомных фосфолипидов, сопровождается значительным сдвигом равновесия между низко- и высокоспиновой формами цитохрома P-450 в пользу высокоспиновой. Вместе с тем встраивание цитохрома P-450 в липосомы, приготовленные с участием димиристоилфосфатидилхолина, не приводит к существенному сдвигу в спиновом равновесии.

Добавление нативного цитохрома b_5 к цитохрому P-450, встроенному в липосомы, приготовленные из разных фосфолипидов, вызывает появление дифференциального спектра первого типа, что указывает на комплексообразование гемопротеидов. Как следует из данных, приведенных в табл. 1, фосфатидилхолин и суммарные микросомные фосфолипиды способствуют комплексообразованию, что проявляется в увеличении сродства этих гемопротеидов после включения одного из них в фосфолипидные везикулы, а также в увеличении амплитуды спектральных изменений. Димиристоилфосфатидилхолин, однако, несколько уменьшая константу диссоциации комплекса цитохром P-450 — цитохром b_5 , практически не влияет на амплитуду спектральных изменений. Эти результаты согласуются с полученными нами экспериментальными данными, свидетельствующими о неспособности димиристоилфосфатидилхолина существенно изменять равновесие между высоко- и низкоспиновой формами в пользу высокоспиновой. Последняя гораздо легче образует функциональный комплекс с цитохромом b_5 . Наши результаты по взаимодействию гемопротеидов согласуются с данными [38], свидетельствующими о существовании стехиометрического комплекса 1 : 1 между мицеллярным цитохромом P-450 и нативным цитохромом b_5 . Однако, как следует из работы [38], взаимодействия между цитохромом P-450 и цитохромом b_5 в отсутствие фосфолипидов не про-

Таблица 1
Кажущиеся константы взаимодействия цитохрома b_5 с цитохромом P-450 ЛМ₂ в растворимой и мицеллярной формах

форма цитохрома b_5	фосфолипиды для приготовления липосом *	K_{disc} , мкМ	$A_{(390-424)}$
Нативный	—	8,0	0,0625
»	ФХ	5,1	0,0769
»	СМФ	5,0	0,0714
»	ДФХ	7,5	0,0630
Триптический фрагмент	—	—	—
»	ДФХ	—	—

* ФХ — фосфатидилхолин, СМФ — суммарные микросомные фосфолипиды, ДФХ — димиристоилфосфатидилхолин.

исходит. Авторы этой работы не смогли обнаружить комплексообразование между гемопротеидами в отсутствие фосфолипидов, вероятно, из-за того, что проводили титрование при 2°C. Хорошо известно, что с понижением температуры имеет место сдвиг в спиновом равновесии для цитохрома P-450 в пользу низкоспиновой формы. Низкоспиновая форма цитохрома P-450 гораздо хуже взаимодействует с цитохромом b_5 . Данные, полученные в работе [38], противоречат и работе [21], в которой показано, что цитохром P-450 образует комплекс с нативным цитохромом b_5 в отсутствие фосфолипидов.

Комплексообразование между цитохромом P-450, встроенным в мицеллы фосфолипидов, и триптическим фрагментом цитохрома b_5 не происходит независимо от типа используемого фосфолипида (см. табл. 1). Таким образом, удаление гидрофобного фрагмента молекулы цитохрома b_5 не только лишает белок способности встраиваться в искусственные и естественные фосфолипидные мембранны, но и нарушает взаимодействие этого гемопротеида с цитохромом P-450. Кроме того, наблюдаемое увеличение сродства гемопротеидов после включения цитохрома P-450 в фосфолипидные везикулы (табл. 1) свидетельствует о том, что кроме конформационных изменений, которые проявляются в изменении спинового равновесия между высоко- и низкоспиновой формами цитохрома P-450, значительную роль во влиянии фосфолипидов выполняют эффекты ориентации гемопротеидов, что в существенной степени способствует взаимодействию.

Исследование взаимодействия цитохромов P-450 LM₂ и b_5 методом второй производной ультрафиолетовых спектров поглощения

С помощью второй производной ультрафиолетовых спектров поглощения мы исследовали роль отдельных ароматических аминокислотных остатков во взаимодействии гемопротеидов. Эта роль может быть обусловлена либо их непосредственным участием в образовании неполярных связей, либо конформационными изменениями в молекуле белка в процессе взаимодействия. Оба типа взаимодействия сопровождаются изменениями в микроокружении аминокислот, что должно проявляться во второй производной спектров поглощения. В случае второй производной спектров поглощения ароматических аминокислот наблюдается лучшее разрешение полос, присущих отдельным аминокислотам. Для сравнения и идентификации отдельных полос во второй производной спектров белков были записаны аналогичные спектры отдельных ароматических аминокислот (см. рис. 5, табл. 2). Из табл. 2 следует, что полосы, характерные для триптофана и тирозина (279,8 и 280,5 нм соответственно), перекрываются, тогда как полосы, присущие фенилаланину, находятся в более коротковолновой

Таблица 2

Сравнение полос поглощения (нм) в спектрах второй производной цитохрома P-450 LM₂, цитохрома b_5 и триптического фрагмента цитохрома b_5 с полосами поглощения во вторых производных спектров ароматических аминокислот и их смеси, имитирующей аминокислотный состав цитохрома P-450 LM₂*

Соединение	λ_{\max} , нм									
Триптофан	286,5	279,8			269,5					
Тирозин		280,5	273			265				
Фенилаланин						266	262	255,8	249,8	243
Смесь аминокислот										239
(цитохром P-450)	287,5	280,5	273,5		266	262	255,5	249,5	244	239
Цитохром P-450	290,2	283,0	276,2	272,5	267,5	263	257,2	251,2	246	
Цитохром b_5	289,5	282,0	273,5		267	263	256,3	250,0		
($r-b_5$)	288,5	282,5	275,0		266,3	263	257,5	249,4	246	

* Все измерения были выполнены при комнатной температуре в 0,1 М фосфатном буфере, pH 7,4.

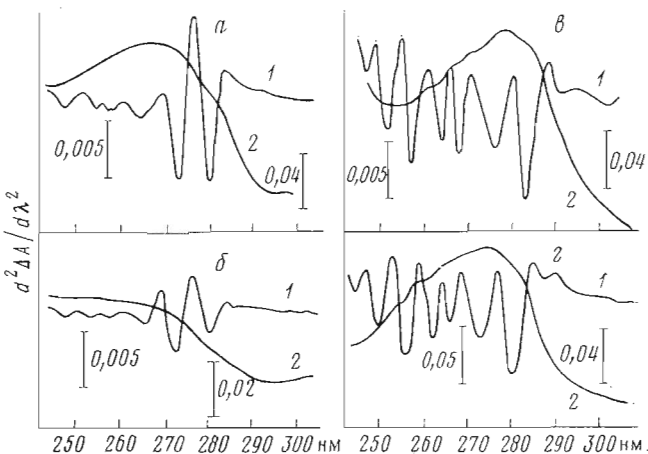


Рис. 5. Спектры поглощения (2) и их вторые производные (1) для нативного цитохрома b_5 (а), триптического цитохрома b_5 (б), цитохрома Р-450 (в) и смеси аминокислот, имитирующей аминокислотный состав цитохрома Р-450 (г)

области. Полоса, присущая триптофану (286 нм), не перекрывается с полосами поглощения других аминокислот. Для количественной характеристики отдельных аминокислот были использованы характерные минимумы: 286,5 нм для триптофана (290,2 нм в цитохроме Р-450) и 255,8 нм для фенилаланина (257,2 нм в цитохроме Р-450). Для количественной оценки тирозина был использован минимум при 280,5 нм (283 нм для цитохрома Р-450), несмотря на наличие перекрывания с полосой триптофана. Соотношение тирозина и триптофана в цитохроме Р-450 равно 9 : 1, и поэтому минимум на 283 нм обусловлен главным образом остатками тирозина.

Для определения вклада определенных ароматических аминокислот в процессе взаимодействия гемопротеидов мы регистрировали разностные спектры второй производной при взаимодействии цитохрома Р-450 с цитохромом b_5 : спектр взаимодействия обоих гемопротеидов в опытной кювете записывался против спектров разделенных белков с помощью tandemной кюветы (рис. 6). Во всех случаях основные изменения в разностных спектрах, наблюдаемые при взаимодействии цитохромов Р-450 $L M_2$ и b_5 , расположены в области 290 нм, что говорит о участии остатка триптофана во взаимодействии гемопротеидов. Вместе с тем добавление триптического фрагмента цитохрома b_5 к цитохрому Р-450 $L M_2$ не приводит к каким-либо заметным изменениям. Полученные результаты согласуются с данными спектральных исследований взаимодействия гемопротеидов в видимой области спектра. Необходимо отметить, что формы разностных спектров, возникающих при взаимодействии цитохрома b_5 с растворимым и встроенным в фосфолипидные везикулы цитохромом Р-450, существенно различаются. Так, полосы, присущие триптофану в области 290 нм, после взаимодействия с растворимым цитохромом Р-450 становятся положительными. Это указывает на то, что амплитуда полос поглощения, присущих триптофану, в спектре второй производной уменьшается в результате взаимодействия. Наоборот, при взаимодействии цитохрома b_5 с мицеллярным цитохромом Р-450 в разностном спектре наблюдается появление минимума на 290 нм и соответственно увеличивается амплитуда триптофана в спектре второй производной в результате комплексообразования вследствие увеличения неполярности данного аминокислотного остатка. Влияние фосфолипидов на характер спектров второй производной был показан и при взаимодействии цитохрома Р-450 с NADPH-цитохром-Р-450-редуктазой [39].

NADPH-цитохром-Р-450-редуктаза образует стехиометрический комплекс с цитохромом Р-450, о чем свидетельствуют данные спектрофотомет-

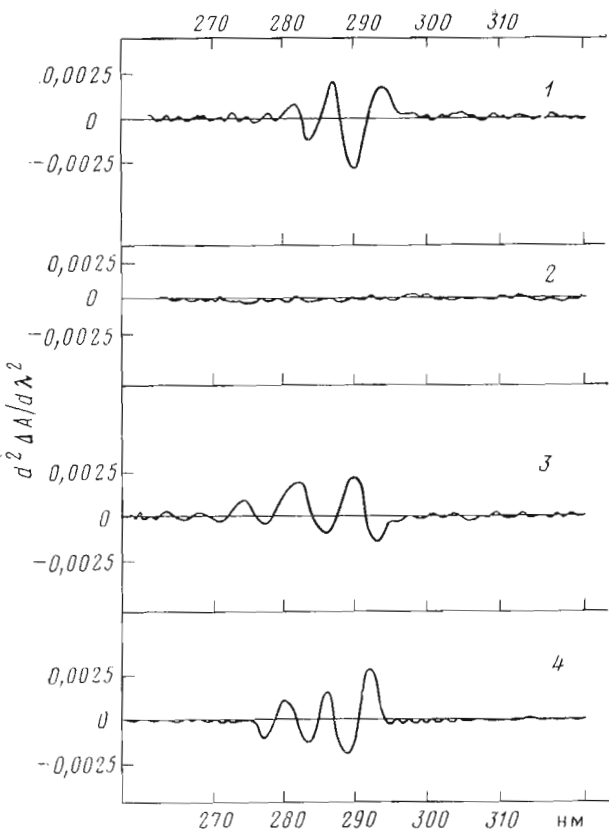


Рис. 6. Разностные спектры взаимодействия цитохрома P-450 с нативным цитохромом b_5 (1, цитохром P-450 встроен в фосфатидилхолиновые липосомы), с триптическим цитохромом b_5 (2), с нативным цитохромом b_5 (3) и (4, цитохром P-450 встроен в липосомы из микросомных фосфолипидов)

рических исследований, измерения кругового дихроизма комплекса и исследования каталитической активности [34]. Удаление с помощью триптицина гидрофобного фрагмента в NADPH-цитохром-P-450—редуктазе, выделенной с помощью неионных детергентов, лишает данный белок способности ферментативно восстанавливать цитохром P-450 [40, 41]. Таким образом, как и в случае цитохрома b_5 , удаление фрагмента белка, ответственного за связывание с мембраной, лишает белок способности образовывать функциональный комплекс с терминальной оксидазой — цитохромом P-450. Тот факт, что аминокислоты, входящие в состав фрагментов цитохрома b_5 и NADPH-цитохром-P-450—редуктазы, ответственных за связывание с мембраной, имеют главным образом гидрофобный характер, позволяет предположить, что взаимодействие цитохрома P-450 с этими белками осуществляется за счет гидрофобных взаимодействий. В этой связи возникает вопрос: однозначны ли места на молекуле цитохрома P-450, ответственные за связывание с цитохромом b_5 и NADPH-цитохром-P-450—редуктазой? Если оба белка взаимодействуют с одним и тем же гидрофобным участком молекулы цитохрома P-450, значит, в процессе гидроксилирования оба белка, участвующие в трансспорте первого и второго электронов, соответственно взаимодействуют с молекулой цитохрома P-450 последовательно. Одноэлектронное восстановление связанныго с субстратом цитохрома P-450 в комплексе с редуктазой должно сопровождаться распадом комплекса, взаимодействием с кислородом с последующим комплексообразованием с цитохромом b_5 . Такое последовательное восстановление цитохрома P-450 в процессе каталитического цикла практически полностью исключает образование тройного комплекса цитохрома P-450—(NADPH-цитохром-P-450—редуктаза)—цитохром b_5 . Напротив, при наличии разных участков связывания на молекуле цитохрома P-450 для редуктазы и

цитохрома b_5 имеется возможность образования такого тройного комплекса. В пользу данного предположения свидетельствуют результаты экспериментов, полученные методом гель-фильтрации. Оказалось, что цитохром P-450, нативный цитохром b_5 и NADPH-цитохром-P-450—редуктаза элюируется с колонки в виде агрегата с молекулярным весом 750 000 [21].

Исследования, выполненные Рукпаулем [39] по изучению комплексообразования NADPH-цитохром-P-450—редуктазы с цитохромом P-450 с помощью метода второй производной ультрафиолетовых спектров поглощения, свидетельствуют о вовлечении в процесс комплексообразования остатков тирозина молекулы цитохрома P-450. Полученные нами результаты по взаимодействию цитохрома P-450 с нативным цитохромом b_5 указывают на участие в процессе комплексообразования также единственно остатка триптофана молекулы цитохрома P-450.

Таким образом, прямо или косвенно в процесс комплексообразования цитохрома P-450 с NADPH-цитохром-P-450—редуктазой и цитохромом b_5 вовлекаются разные аминокислотные остатки. Это позволяет предположить существование разных участков на молекуле цитохрома P-450, ответственных за комплексообразование с другими компонентами электронно-транспортной цепи. Следует отметить также, что гидрофобные фрагменты, участвующие во взаимодействии с цитохромом P-450, по-разному распределены в молекулах цитохрома b_5 и NADPH-цитохром-P-450—редуктазы. Во флавопротеиде данный участок находится на N-концевой части молекулы [42], тогда как в цитохроме b_5 — на C-концевой последовательности [43].

Влияние цитохрома b_5 на реакции окисления с участием цитохрома P-450 в существенной степени зависит от целого ряда факторов, таких, как природа субстрата, наличие или отсутствие в реконструированной системе фосфолипидов, форма цитохрома P-450. В этой связи принципиальная важность гидрофобных взаимодействий, необходимых для образования комплекса цитохрома P-450 и нативного цитохрома b_5 , не позволяет, однако, исключить участие электростатических взаимодействий в процессе комплексообразования гемопротеидов. Известно, что скорость транспорта электронов с цитохрома b_5 на оксикомплекс цитохрома P-450 в существенной степени зависит от pH и ионной силы среды [44], а ингибирующий эффект антител к цитохрому b_5 на реакцию окисления с участием цитохрома P-450 проявляется только при низких значениях pH и ионной силы, т. е. только тогда, когда осуществляется взаимодействие между гемопротеидами. Эти результаты косвенно указывают на участие электростатических взаимодействий при электронном транспорте с цитохромом b_5 на цитохром P-450 в микросомной мембране. Отсутствие спектральных изменений при добавлении гидрофильного фрагмента молекулы цитохрома b_5 к цитохрому P-450 свидетельствует о том, что между гемопротеидами нет катализического или иного взаимодействия. Цитохром P-450, обладающий сродством к цитохрому b_5 , эффективно взаимодействует с иммобилизованными нативным и триптическим цитохромами b_5 , причем во взаимодействии гемопротеидов участвуют как гидрофобные, так и электростатические силы [30]. Однако тот факт, что иммобилизованный триптический фрагмент молекулы цитохрома b_5 обладает гораздо более высоким сродством к цитохрому P-450, чем растворимый белок, говорит о том, что в ходе иммобилизации изменяются электростатические свойства белка и взаимодействие носит, по-видимому, неспецифический характер. Вместе с тем пока не имеется достаточно оснований для того, чтобы однозначно отрицать участие электростатических взаимодействий при комплексообразовании гемопротеидов. Тот или другой тип взаимодействия может в значительной степени зависеть от формы цитохрома P-450, используемой в эксперименте. Так, например, цитохром P-450 JIM₂, получаемый из микросом печени кроликов после индукции фенобарбиталом, не взаимодействует ни с нативным, ни с триптическим цитохромами b_5 , иммобилизованными на нерастворимой матрице.

Взаимодействие мембранны-связывающего фрагмента молекулы цитохрома b_5 с молекулой цитохрома P-450 может осуществляться нескольки-

ми способами: 1) фрагмент выполняет роль якоря, ориентируя молекулу цитохрома b_5 должным образом относительно молекулы цитохрома P-450, что способствует их взаимодействию; 2) гидрофобный фрагмент цитохрома b_5 взаимодействует со строго определенным участком на молекуле цитохрома P-450. Исследование способа взаимодействия гидрофобного фрагмента NADPH-цитохром-P-450—редуктазы с цитохромом P-450 не позволяет отдать предпочтение тому или другому способу взаимодействия. Так, небольшой гидрофобный фрагмент NADPH-цитохром-P-450—редуктазы, выделенной из микросом печени кроликов, получаемый после обработки пативного белка трипсином, является эффективным ингибитором реакции окисления в реконструированной системе [45]. Это указывает на то, что данный гидрофобный фрагмент и NADPH-цитохром-P-450—редуктаза конкурируют за одно и то же место связывания на молекуле цитохрома P-450. В то же время мембранный фрагмент NADPH-цитохром-P-450—редуктазы, выделенной из микросом печени крыс, не конкурирует с пативной редуктазой за связывание с цитохромом P-450, о чем свидетельствует его неспособность ингибировать гидроксилирование в реконструированной системе [42]. Вероятно, в данном случае гидрофобный фрагмент NADPH-цитохром-P-450—редуктазы микросом печени крыс не вовлекается в специфическое взаимодействие с цитохромом P-450. Разница в эффектах гидрофобных фрагментов NADPH-цитохром-P-450—редуктазы микросом печени кроликов и крыс на окисление в реконструированной системе остается, однако, непонятной. Связано ли это с видовыми различиями, использованием разных форм цитохрома P-450 или с условиями проведения экспериментов, необходимо выяснить. В случае же цитохрома b_5 роль гидрофобного фрагмента гемопротеида заключается в обеспечении оптимальных условий для взаимодействия гемопротеидов посредством гидрофобных взаимодействий, которое может сопровождаться непосредственным гем-гемовым контактом.

Полученные нами данные свидетельствуют о том, что гидрофобный фрагмент цитохрома b_5 , ответственный за связывание гемопротеида с мембраной, необходим для образования функционального комплекса с цитохромом P-450 LM₂, а остаток триптофана молекулы цитохрома P-450 непосредственно вовлекается в процесс комплексообразования.

Экспериментальная часть

Цитохром P-450 LM₂ из микросом печени кроликов, индуцированных фенобарбиталом, был выделен по методу, описанному ранее [39]. Препарат гомогенен по данным электрофореза в присутствии додецилсульфата натрия и характеризуется удельным содержанием цитохрома P-450 15–16 нмоль/мг белка. Препараты цитохрома P-450 практически не содержат примесей фосфолипидов и детергента.

Нативный цитохром b_5 выделяли с помощью ионных детергентов из микросом печени кроликов как описано ранее [23, 43]. Протеолитический фрагмент цитохрома b_5 получали по методу, описанному в работе [43], с некоторыми модификациями. Солюбилизацию микросом трипсином и химотрипсином осуществляли при соотношении 10 мг фермента на 1 г микросом при 4°C в течение 14–16 ч. Реакцию останавливали добавлением ингибитора трипсина. Обогащенные цитохромом b_5 фракции собирали с помощью хроматографии на DEAE-сепадексе A-25 вместо процедуры лиофилизации. Конечный препарат протеолитического цитохрома b_5 мигрирует одной полосой при электрофорезе в присутствии додецилсульфата натрия.

Встраивание цитохрома P-450 в липосомы проводили с помощью метода [46]. Липиды тщательно упаривали для удаления следов органического растворителя, солюбилизовали в 0,1 М фосфатном буфере (рН 7,2) с помощью холата натрия, инкубировали в течение 60 мин и подвергли хроматографии на сепадексе G-50. Цитохром P-450, встроенный в липосомы, элюировали в свободном объеме колонки.

Взаимодействие белков оценивали по изменениям, происходящим в ультрафиолетовой части спектра поглощения, с помощью второй производной этих спектров по методу [39].

Все спектрофотометрические исследования были выполнены на двухлучевом спектрофотометре UV-300 (Shimadzu, Япония) с использованием приставки для записи вторых производных спектров поглощения DES-1. В работе использовали tandemные кюветы с длиной оптического пути 0,874 см или четыре кварцевые кюветы с длиной оптического пути 0,5 см каждая. Стандартные условия для измерения второй производной спектров поглощения в ультрафиолетовой области спектра: скорость сканирования 75 нм/мин, $\Delta\lambda$ 2 нм, время ответа 0,05 с. Разностные спектры второй производной были аккумулированы 10 раз с помощью микропроцессора Sap-com-1.

Влияние цитохрома b_5 на спиновое равновесие цитохрома P-450 ЛМ₂ исследовали с помощью разностной спектрофотометрии. Цитохром P-450, свободный от фосфолипидов или встроенный в липосомы, в 0,1 М калий-фосфатном буфере, pH 7,4, помещали в первый отсек контрольной и опытной кювет. Равный объем буфера помещали во второй отсек обеих кювет. В процессе титрования соответствующие количества концентрированного раствора цитохрома b_5 добавляли в первый отсек опытной и во второй отсек контрольной кювет. Одновременно равные количества буферного раствора добавляли во второй отсек опытной и в первый отсек контрольной кювет. После каждого добавления регистрировали разностные спектры комплекса цитохром P-450 — цитохром b_5 вплоть до достижения равновесия (5–10 мин). Спектральные константы диссоциации комплекса цитохром P-450 — цитохром b_5 определяли из зависимости обратных величин спектральных изменений от обратной концентрации цитохрома b_5 .

Спектры кругового дихроизма цитохрома P-450 и нативного цитохрома b_5 регистрировали при комнатной температуре на спектрополяриметре Jasco-20 (Япония), используя кюветы с длиной оптического пути 5 мм для регистрации спектров в видимой области и 2 мм для записи спектров в ультрафиолетовой части спектра.

Димиристоилфосфатидилхолин был получен от фирмы Calbiochem (США). Общие микросомные фосфолипиды были любезно предоставлены доктором Ю. Бланком (Центральный институт молекулярной биологии АН ГДР, Берлин-Бух), а фосфатидилхолин — М. А. Киселем (Институт биоорганической химии АН БССР, Минск).

Авторы выражают благодарность Г. С. Янковской за помощь в регистрации спектров кругового дихроизма.

ЛИТЕРАТУРА

- Enomoto K., Sato R. Biochem. and Biophys. Res. Commun., 1973, v. 51, № 1, p. 1–7.
- Hrycay E. G., Estabrook R. W. Biochem. and Biophys. Res. Commun., 1974, v. 60, № 2, p. 771–778.
- Jansson J., Schenckman J. B. Mol. Pharmacol., 1973, v. 9, № 4, p. 840–845.
- Sasame H. A., Thorgeisson S. S., Mitchell J. R., Gillette J. R. Life Sci., 1974, № 1, p. 35–46.
- Sasame H. A., Thorgeisson S. S., Menard R. H., Hinson J. A., Mitchell J. J., Gillette J. R. Fed. Proc., 1975, v. 33, № 5, 1437.
- Sasame H. A., Thorgeisson S. S., Mitchell J. R., Gillette J. R. In: Cytochrome P-450 and b_5 /Eds Cooper D. Y. et al. New York: Plenum Press, 1975, p. 435–445.
- Strittmatter P., Rogers M. J., Spatz L. J. Biol. Chem., 1972, v. 247, № 15, p. 7188–7194.
- Hrycay E. G. Fed. Proc., 1974, v. 33, № 4, p. 1288.
- Cinti D. L., Ozols J. In: Cytochrome P-450 and b_5 /Eds Cooper D. Y. et al. New York: Plenum Press, 1975, p. 467–483.
- Werringloer J., Kawano S. In: Microsomes, Drug Oxidation, and Chemical Carcinogenesis/Eds Coon M. J. et al. New York: Acad. Press, 1980, v. 1, p. 469–476.
- Lu A. Y. H., Lewin W., West S. B., Vore M., Ryan D. J. Biol. Chem., 1974, v. 249, № 12, p. 6701–6709.
- Lu A. Y. H., Lewin W., West S. B., Vore M., Ryan D., Kuntzman R., Conney A. H. In: Cytochrome P-450 and b_5 /Eds Cooper D. Y. et al. New York: Plenum Press, 1975, p. 447–466.
- West S. B., Lewin W., Ryan D., Vore M., Lu A. Y. H. Biochem. and Biophys. Res. Commun., 1974, v. 58, № 2, p. 516–522.
- Ingelman-Sundberg M., Johansson J. Biochem. and Biophys. Res. Commun., 1980, v. 97, № 2, p. 582–589.
- Brunström A., Ingelman-Sundberg M. Biochem. and Biophys. Res. Commun., 1986, v. 95, № 2, p. 431–439.

16. Kiawahara S.-J., Omura T. Biochem. and Biophys. Res. Commun., 1980, v. 96, № 4, p. 1562–1568.
17. Vatsis K., Theoharides A. D., Kupfer D., Coon M. J. In: Biochemistry, Biophysics and Regulation of Cytochrome P-450 /Eds Gustafsson J. A. et al. Amsterdam: Elsevier / / Noth-Holland Biomed. Press, 1980, p. 73–76.
18. Ingelman-Sundberg M., Johanson A., Brunström A., Ekström G., Haaparanta T., Rydström J. In: Biochemistry, Biophysics and Regulation of Cytochrome P-450 /Eds Gustafsson J. A. et al. Amsterdam: Elsevier / Noth-Holland Biomed. Press, 1980, p. 299–306.
19. Vatsis K., Gurka D. P., Hollenberg P. F. In: Biochemistry, Biophysics and Regulation of Cytochrome P-450 /Eds Gustafsson J. A. et al. Amsterdam: Elsevier/Noth-Holland Biomed. Press, 1980, p. 347–350.
20. Imai Y. J. Biochem., 1981, v. 89, № 2, p. 351–362.
21. Chiang J. Y. L. Arch. Biochem. and Biophys., 1981, v. 211, № 2, p. 662–673.
22. Усанов С. А., Курченко В. П., Мегелица Д. И. Биоорганическая химия, 1982, т. 8, № 5, с. 630–642.
23. Spatz L., Strittmatter P. Proc. Nat. Acad. Sci. USA, 1971, v. 68, № 4, p. 1042–1046.
24. Mannerling G. J., Kuwahara S., Omura T. Biochem. and Biophys. Res. Commun., 1974, v. 57, № 2, p. 476–481.
25. Noshiro M., Harada N., Omura T. Biochem. and Biophys. Res. Commun., 1979, v. 91, № 1, p. 207–213.
26. Hilderbrandt A., Estabrook R. W. Arch. Biochem. and Biophys., 1971, v. 143, № 1, p. 66–79.
27. Staudt H., Lichtenberger F., Ullrich V. Eur. J. Biochem., 1974, v. 46, № 1, p. 99–106.
28. Ахрем А. А., Усанов С. А., Мегелица Д. И. Докл. АН БССР, т. 22, № 3, с. 275–278.
29. Imai Y. J. Biochem., 1979, v. 86, № 6, p. 1697–1707.
30. Miki N., Sugiyama T., Yamano T. J. Biochem., 1980, v. 88, № 2, p. 307–316.
31. Курченко В. П., Усанов С. А., Мегелица Д. И. Изв. АН БССР. Сер. хим. наук, 1982, № 2, с. 71–78.
32. Schenkman J. B., Sligar S. G., Cinti D. L. Pharm. Therm., 1981, v. 12, p. 43–71.
33. Sugiyama T., Miura R., Yamano Y., Shida K., Watari H. Biochem. and Biophys. Res. Commun., 1980, v. 97, № 1, p. 22–27.
34. French J. S., Guengerich F. P., Coon M. J. J. Biol. Chem., 1980, v. 255, № 9, p. 4112.
35. Shimizu T., Nozawa T., Hatano M., Satake H., Imai Y., Hashimoto C., Sato R. Biochim. et biophys. acta, 1979, v. 579, № 1, p. 122–133.
36. Chiang Y. L., Coon M. J. Arch. Biochem. and Biophys., 1979, v. 195, № 1, p. 178–187.
37. Ахрем А. А., Усанов С. А., Киселев П. А., Кисель М. А., Мегелица Д. И. Докл. АН БССР, 1979, т. 245, № 1, с. 234–238.
38. Bonfils C., Bulny C., Maurel P. J. Biol. Chem., 1981, v. 256, № 18, p. 9457–9465.
39. Ruckpaul K., Rein H., Ballow D. P., Coon M. J. Biochim. et biophys. acta, 1980, v. 626, № 1, p. 41–56.
40. Gum J. R., Strobel H. W. J. Biol. Chem., 1979, v. 254, № 10, p. 4177–4185.
41. French J. S., Black C. H., Williams I., Coon M. J. In: Microsomes, Drug Oxidation and Chemical Carcinogenesis /Eds Coon M. J. et al. New York: Acad. Press, 1980, v. 1, p. 387–390.
42. Gum J. R., Strobel H. W. J. Biol. Chem., 1981, v. 256, № 14, p. 7478–7486.
43. Bendzko P., Pfeil W. Acta biol. med. Germ., 1980, v. 39, № 1, p. 47–53.
44. Noshiro M., Ullrich V., Omura T. Eur. J. Biochem., 1981, v. 116, № 3, p. 521–526.
45. Black S. D., French J. S., Williams C. H., Coon M. J. Biochem. and Biophys. Res. Commun., 1979, v. 91, № 4, p. 1528–1535.
46. Ingelman-Sundberg M., Glauman H. Biochim. et biophys. acta, 1980, v. 599, № 3, p. 417–435.

Поступила в редакцию 13.VII.1982
После доработки 26.X.1982

ROLE OF CYTOCHROME b_5 HYDROPHOBIC FRAGMENT IN THE INTERACTION WITH CYTOCHROME P-450

USANOV S. A., BENDZKO P., PFEIL W., JÄNIG G.-R., RUCKPAUL K.

Institute of Bioorganic Chemistry, Academy of Sciences
of the Byelorussian SSR, Minsk; Central Institute of Molecular Biology,
Berlin-Buch, GDR

The interaction of highly purified liver microsomal cytochrome P-450 from phenobarbital-induced rabbits and cytochrome b_5 has been investigated by the difference and second derivative difference spectroscopy. The addition of cytochrome b_5 to cytochrome P-450 results in transition of cytochrome P-450 heme iron from low to high spin state. The interaction is accompanied by the changes in the second derivative spectrum of cytochrome P-450, which point to the participation of tryptophanyl residues in this process. The hydrophilic fragment of cytochrome b_5 is unable to form a complex with cytochrome P-450 as judged by the absence of the difference spectrum and any changes in the second derivative UV-spectrum of cytochrome P-450. The evidence obtained indicates that the hydrophobic tail of the cytochrome b_5 molecule responsible for its binding to membrane is also indispensable for forming a functional cytochrome P-450 – cytochrome b_5 complex.